



## Lignes horaires dans un cadran bifilaire incliné déclinant

Dominique Collin & Eric Mercier

*On complète ici l'étude menée dans cadran Info n°28 d'octobre 2013 [Mercier & Collin] qui était consacré au cadran solaire bifilaire horizontal à styles obliques. On présente la nature des lignes horaires dans les cadrans solaires bifilaires considérés dans toute leur généralité : surface plane inclinée et déclinante et fils rectilignes disjoints, inclinés et déclinants<sup>1</sup>. En cela, les logiciels « Hugo.0.4c » de M. Mercier sous macintosh et le fichier programme sous Povray (fichier réalisé par M. Baillet) apportent une aide indispensable à la vérification et à l'extension de la conjecture portant sur les lignes horaires de tels cadrans.*

### 1. Conjecture sur les lignes horaires dans les bifilaires inclinés déclinants

*Proposition.* Dans un cadran solaire à plan incliné déclinant muni de deux fils rectilignes quelconques<sup>2</sup>, disjoints et supposés sans épaisseur :

- [1] *Les lignes horaires sont des coniques.*
- [2] *Les lignes horaires sont des branches d'hyperboles, excepté la ligne de midi qui peut être, selon la configuration du système bifilaire, une branche d'hyperbole, ou un segment de droite.*

*Corollaire.*

*Les propositions [1] et [2] s'étendent à toute variété de cadran plan, pourvu que le système bifilaire soit composé de fils rectilignes en position quelconque au-dessus du plan, restriction faite des configurations particulières de parallélisme, de plans azimutaux parallèles, de réunions de points, et du cadran bifilaire de M. Rouxel<sup>3</sup>.*

□

*Preuve.*

On développe les outils qui permettent de vérifier par voie numérique les deux propositions, afin de pouvoir les exercer sur toute espèce de cadrans plans bifilaires, par exemple comme ceux qui ont été tracés dans le précédent article (Mercier & Collin, *op. cit.*, p. 110-112). On construira d'abord un formulaire donnant les coordonnées rectangulaires du point d'intersection des ombres dans le plan du cadran incliné déclinant. Ensuite, l'utilisation de ce formulaire *had hoc* sur une ligne horaire donnée permettra d'en déterminer le genre et d'apporter une preuve numérique, dans l'attente d'une démonstration purement géométrique...

<sup>1</sup> Aussi appelés *styles obliques*, pour les différencier notamment du style polaire.

<sup>2</sup> Chaque fil possède un azimut et une distance zénithale qui leur sont propres. On exclura tout cas particulier des fils : c'est-à-dire fils horizontaux, et fils placés dans des plans parallèles.

<sup>3</sup> B. Rouxel, « Cadrans bifilaires : Étude géométrique », Cadran Info n°9, mai 2004. Et aussi : « Bifilar sundials », The Compendium, NASS, juin 2007, vol.14, n°2, pp. 5-11. Dans ce bifilaire, le plan est polaire sud ( $D=0^\circ, I=\phi$ ), le premier fil est vertical :  $(Az_1; i_1)=(0^\circ; 0^\circ)$ , le second est dans le premier vertical :  $(Az_2; i_2)=(\pm 90^\circ; 0^\circ < i_2 < 90^\circ)$ . Cette configuration produisant des lignes horaires parallèles est unique.

Détaillons les étapes clefs de la *vérification* de cette *conjecture*. On détermine d'abord les paramètres angulaires des fils nécessaires à l'élaboration d'une théorie du bifilaire incliné déclinant. En effet, la déclinaison gnomonique des fils et leur distance zénithale ne peuvent être utilisées telles quelles : il est nécessaire de les transformer afin de les rendre utilisables dans le plan du cadran. C'est pourquoi on définit la position angulaire des fils par rapport à la ligne de plus grande pente et leur inclinaison sur le plan du cadran. Cela permet d'établir assez facilement, dans un repère arbitrairement choisi, les coordonnées cartésiennes du point d'intersection existant entre les ombres des fils. De ce formulaire, à angle horaire constant, on extrait les coordonnées de six points de la ligne horaire choisie, puis on applique le théorème de Pascal sur les sections coniques (cf. D. Collin, « *Lignes horaires dans un cadran bifilaire* », Cadran Info n°28, octobre 2013, p. 29-45). À partir de là, s'il s'agit bien d'une conique, le discriminant de son équation cartésienne nous renseigne sur son genre. D'où une validation des propositions [1] et [2].

Des exemples numériques variés sont proposés, et on a préféré choisir plus concrètement cinq faces<sup>4</sup> d'un polyèdre régulier : le dodécaèdre. Il est tel qu'il repose sur une face avec comme contraintes une face plein nord et une arête plein sud. Les tracés des cadrans bifilaires sur cinq de ces faces se trouvent placés à la fin de l'article (cf. planches, cadrans n°1 à 5). ■

## 2. Coordonnées rectangulaires du point d'intersection des ombres des fils

### a-1) Installation des styles obliques au-dessus d'un plan incliné déclinant

Considérons un point  $M_{k0}$ , point d'implantation d'un style non nécessairement polaire. Le style oblique numéro  $k$  désigné par  $F_k$ <sup>5</sup>, est contenu dans un plan vertical d'azimut  $Az_k$  et possède une certaine distance zénithale  $i_k$  (on exclu le cas du fil horizontal). L'extrémité de  $F_k$  est le point  $N_k$  qui est lui-même l'extrémité du style droit associé ( $O_k N_k$  est le style droit de  $F_k$ ; cf. fig. 3). Utiliser les paramètres classiques  $(Az_k; i_k)$  pour installer le style oblique au-dessus d'un plan incliné déclinant n'est pas du tout aisé. On préférera plutôt se servir d'angles directement utilisables depuis la surface du plan incliné déclinant : ce sont les paramètres angulaires  $(\beta_k; f_k)$  (voir fig. 1 et 3) :

- $f_k$  est l'angle entre le style oblique  $F_k$  et sa sous-styloire. C'est la hauteur du style oblique sur le plan incliné déclinant.
- $\beta_k$  est l'angle entre la ligne de plus grande pente (LPGP) et la sous-styloire associée à  $F_k$  – il est compté positivement dans le sens trigonométrique depuis le plus haut de la LPGP. Il permet de positionner la sous-styloire sur la surface du cadran.

Les formules (1) et (2) donnent les relations de passage entre ces deux espèces de paramètres angulaires. La figure 1 montre sur la sphère céleste de centre  $O_k$ , la correspondance qu'il peut y avoir entre les paires  $(Az_k; i_k)$  et  $(\beta_k; f_k)$  du style oblique numéro  $k$ . On considérera les styles dans toute leur généralité, mais on exclura tout parallélisme avec le cadran. Rappelons enfin que  $D$  et  $I$  sont respectivement la déclinaison gnomonique et la distance zénithale du plan incliné déclinant.

<sup>4</sup>Les normales des cinq faces pointent dans des directions situées au-dessus de l'horizon. Dit autrement, ce sont les cinq faces adjacentes à la face supérieure horizontale du dodécaèdre.

<sup>5</sup>  $k=1$  pour le premier style,  $k=2$  pour le deuxième.

Les analogies de Néper dans le triangle sphérique  $ZNN_k$ , permettent de calculer, sans aucune ambiguïté de signe, l'angle  $\beta_k$ . On calculera donc successivement :

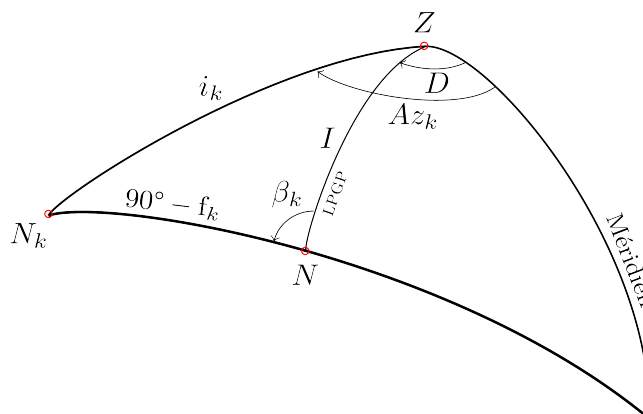


Figure 1 : Correspondance entre les paires  $(Az_k; i_k)$  et  $(\beta_k; f_k)$  dans le triangle sphérique  $ZNN_k$ . Z est le zénith du lieu, N est la normale au plan incliné déclinant et  $N_k$  l'extrémité du style oblique  $F_k$ .

$$\tan\left(\frac{\beta_k - N_k}{2}\right) = \cot\left(\frac{Az_k - D}{2}\right) \frac{\sin\left(\frac{i_k - I}{2}\right)}{\sin\left(\frac{i_k + I}{2}\right)}, \quad \tan\left(\frac{\beta_k + N_k}{2}\right) = \cot\left(\frac{Az_k - D}{2}\right) \frac{\cos\left(\frac{i_k - I}{2}\right)}{\cos\left(\frac{i_k + I}{2}\right)}$$

Puis, par simple addition après extraction des angles, on accède à l'angle  $\beta_k$ . On peut proposer la relation suivante qui calcule directement cet angle :

$$\beta_k = \arctan\left[\cot\left(\frac{Az_k - D}{2}\right) \frac{\sin\left(\frac{i_k - I}{2}\right)}{\sin\left(\frac{i_k + I}{2}\right)}\right] + \arctan\left[\cot\left(\frac{Az_k - D}{2}\right) \frac{\cos\left(\frac{i_k - I}{2}\right)}{\cos\left(\frac{i_k + I}{2}\right)}\right] \quad (1)$$

Le calcul de l'angle  $f_k$  s'obtient en appliquant le théorème du cosinus dans le même triangle sphérique  $ZNN_k$ . On a, là aussi sans aucune ambiguïté d'angle ( $0 \leq f_k \leq 90^\circ$ ) :

$$\sin(f_k) = \cos(i_k) \cos(I) + \sin(i_k) \sin(I) \cos(Az_k - D) \quad (2)$$

A partir de ces relations, on peut installer sans trop de difficultés<sup>6</sup>, chacun des styles au-dessus du plan incliné déclinant. Pour des exemples numériques, voir ceux du paragraphe 2-d.

*a-2) Remarque importante sur l'orientation des styles obliques (M. Mercier) :*

<sup>6</sup> C'est vraiment relatif... Un triangle rectangle dont l'hypoténuse est le style oblique, puis un des côtés de l'angle droit le style droit associé, avec le dernier côté (la sous-stylaire) posé sur le plan incliné déclinant, donne une bonne idée d'un style oblique dans ce système bifilaire.

Dans *Cadran-Info* n°28, nous avons proposé une approche beaucoup plus empirique du tracé de la table d'un cadran bifilaire incliné déclinant, ainsi qu'un logiciel de dessin : « *Hugo.0.4c* ». La nomenclature de description angulaire des gnomons filaires utilisée dans ce logiciel n'est cohérente ni avec les règles classiques de la gnomonique, ni avec l'outil informatique proposé ici (à l'époque nous avons choisi de privilégier la cohérence avec une version précédente du logiciel qui ne traitait que des cadrans bifilaires horizontaux). Dans « *Hugo.0.4c* », la géométrie des gnomons filaires est définie par rapport (1) à la normale de la table et (2) à la ligne de plus grande pente. L'affinité avec ( $\beta$ ) et ( $f$ ) (cf. fig. 3) est dès lors évidente. Les équivalences sont données dans le tableau suivant :

Fichier Excel : « <i>PID_bifilaire qcq_2013.xls</i> »	Logiciel <i>Hugo.0.4c</i>
Il faut calculer $\beta_k$	Il faut saisir $Az_k^{Hugo} = -\beta_k$
Il faut calculer $f_k$	Il faut saisir $i_k^{Hugo} = \overline{f}_k$ <sup>7</sup>

Il va de soit que si l'on démarre l'étude d'un cadran avec les azimuth et distance zénithale de chaque gnomon filaire, il faut d'abord calculer, pour chacun d'eux, les angles  $\beta$  et  $f$ , ensuite les convertir selon cette règle, puis les introduire comme paramètre d'entrée dans le logiciel « *Hugo.0.4c* » pour produire le bon dessin du cadran<sup>8</sup>.

Avant de proposer des exemples d'application, pour ensuite poursuivre la démonstration des deux propositions et du corollaire, on donne les relations de passage entre les paramètres angulaires utilisés par le logiciel « *Hugo.0.4c* » (paramètres in-situ) et les paramètres angulaires classiques des styles. De la sorte, on peut passer de l'un à l'autre en toute transparence (cf. fig. 1) et ainsi comparer les tracés avec d'autres logiciels.

$$(a) \quad \cos(i_k) = \cos(I) \cos(i_k^{Hugo}) + \sin(I) \sin(i_k^{Hugo}) \cos(-Az_k^{Hugo})$$

$$(b) \quad Az_k = D + \arctan \left[ \cot \left( \frac{-Az_k^{Hugo}}{2} \right) \frac{\cos \left( \frac{I - i_k^{Hugo}}{2} \right)}{\cos \left( \frac{I + i_k^{Hugo}}{2} \right)} \right] - \arctan \left[ \cot \left( \frac{-Az_k^{Hugo}}{2} \right) \frac{\sin \left( \frac{I - i_k^{Hugo}}{2} \right)}{\sin \left( \frac{I + i_k^{Hugo}}{2} \right)} \right]$$

### Exemples numériques

ex. 1) Considérons un plan incliné déclinant (cf. fig. 5, cadran n°1) à la latitude de Nice ( $\phi = 43^\circ 43' N.$ ) tel que  $D = +36^\circ$  et  $I = 63^\circ 26' 05,815''$ , puis deux styles installés au-dessus de ce plan, tels que, pour le premier :  $(Az_l ; i_l) = (125^\circ ; 15^\circ)$ , et pour le deuxième :

<sup>7</sup>  $\overline{f}_k = 90^\circ - f_k$

<sup>8</sup> Les notations utilisées dans le logiciel « *Hugo.0.4c* » :  $Az_k$  et  $i_k$ , ne sont pas vraiment appropriées pour le plan incliné déclinant, car elles n'ont pas le même sens que les  $Az_k$  et  $i_k$  utilisés pour les fils dans l'étude gnomonique proposée ici. L'équivalence ne vaut que lorsque le plan du cadran est horizontal. Il faudra donc éviter cette confusion dans les angles des gnomons lorsqu'on se servira du logiciel pour tracer un bifilaire incliné déclinant.

$(Az_2; i_2) = (-120^\circ ; 0^\circ)^9$ . Les valeurs à saisir dans le logiciel « *Hugo.0.4c* » pour obtenir un tracé correct du cadran seront par conséquent :

<b>Fil 1</b>	Logiciel <i>Hugo.0.4c</i>	<b>Fil 2</b>	Logiciel <i>Hugo.0.4c</i>
$\beta_1 = 16^\circ,71$	$Az_1 = -16^\circ,71$	$\beta_2 = 0^\circ$	$Az_2 = 0^\circ$
$f_1 = 25^\circ,85$	$i_1 = 64^\circ,15$	$f_2 = 26^\circ,57$	$i_2 = 63^\circ,43$

ex. 2) Proposons un problème inverse : retrouver les caractéristiques classiques des gnomons lorsqu'on connaît celles qui ont été utilisées sous « *Hugo.0.4c* ». Par exemple, le cadran numéro N de la figure 8 de la précédente étude (cf. Mercier & Collin, *op. cit.*, p. 112) a comme caractéristique pour le logiciel « *Hugo.0.4c* » :

	<i>D</i>	<i>I</i>	$Az_1$	$Az_2$	$i_1$	$i_2$	$x_{20}$	$y_{20}$
Fig. 8-N	35°	45°	-220°	120°	45°	15°	50	-150

(voir note n°8)

Quels sont alors les paramètres angulaires classiques  $(Az_k; i_k)$  de chacun des fils ?

*Solution :*

On utilise directement les relations (a) et (b). On a donc (les décimales sont superflues et servent de vérification) :

	<i>D</i>	<i>I</i>	$Az_1$	$Az_2$	$i_1$	$i_2$	$x_{20}$	$y_{20}$
Fig. 8-N	35°	45°	7°,76369°	18°,85969	83°,28229	53°,73602	50	-150

Ce sont ces valeurs qu'il faut utiliser par exemple sous *Povray* ou dans le tableur Excel « *PID\_bifilaire\_qcq\_2013.xls* », si l'on veut reproduire fidèlement le tracé effectué par le logiciel « *Hugo.0.4c* ». On se rend bien compte qu'il sera assez difficile pour le gnomoniste de les utiliser tel quel sur le terrain pour positionner les styles... On trouvera en figure 10 une reproduction du tracé. Revenons-en maintenant au fil conducteur de notre preuve des propositions.

*b) Coordonnées de l'extrémité de l'ombre d'un style oblique dans un plan incliné déclinant*

Examinons la figure 2 ci-après. On considère dans le plan incliné déclinant le repère  $M_{10}oxy$  dans lequel  $M_{10}$ , pris pour origine, est le pied du premier gnomon,  $M_{10}ox$  l'axe horizontal, perpendiculaire à la ligne de plus grande pente et orienté vers la droite pour un observateur regardant le cadran, et enfin  $M_{10}oy$  l'axe des ordonnées, orienté le long de la ligne de plus grande pente vers le haut. Les segments  $[M_{k0}P_k]$  sont les ombres des styles obliques. Les segments  $[O_kP_k]$  sont les ombres des styles droits associés aux styles obliques. Et enfin les segments  $[M_{k0}O_k]$  sont les sous-stylaires de position angulaire  $\beta_k$ .

Pour simplifier les écritures, prenons un indice quelconque  $k$ . On détermine les coordonnées de l'extrémité  $P_k$  de l'ombre  $[M_{k0}P_k]$  d'un style  $F_k$  à partir des expressions suivantes :

<sup>9</sup> L'azimut du deuxième gnomon importe peu puisqu'il est vertical ( $i_2=0^\circ$ ).





$\zeta$  (zêta) est l'angle entre la direction du style droit et le rayon du soleil. Identique pour les deux styles droits associés aux styles obliques, il se détermine sans ambiguïté à partir de la formule :

$$\cos \zeta = \cos I \sin h + \sin I \cos h \cos(Az - D) \quad (7)$$

L'angle réellement utilisé est  $\bar{\zeta}$ , hauteur du soleil au-dessus du plan incliné déclinant. L'intersection des ombres des styles obliques aura une signification gnomonique si et seulement si  $0^\circ < \bar{\zeta} < 90^\circ$  – bien entendu, ce n'est pas le seul critère qui permet d'éliminer les intersections aberrantes dans le tracé par logiciel – cf. Mercier & Collin, *op. cit.*, §3, p. 105-106.

$\psi$  (psi) est l'angle fait par l'ombre du style droit associé au style oblique avec la ligne de plus grande pente. De centre  $O_k$ , il est mesuré depuis le plus bas de la ligne de plus grande pente (cf. fig. 2 et 3), et est compté positivement dans le sens trigonométrique. Il se détermine sans aucune ambiguïté à partir des analogies de Néper.

$$\psi = \arctan \left[ \cot \left( \frac{Az - D}{2} \right) \frac{\cos \left( \frac{I - \bar{h}}{2} \right)}{\cos \left( \frac{I + \bar{h}}{2} \right)} \right] - \arctan \left[ \cot \left( \frac{Az - D}{2} \right) \frac{\sin \left( \frac{I - \bar{h}}{2} \right)}{\sin \left( \frac{I + \bar{h}}{2} \right)} \right] \quad (8)$$

(avec  $\bar{h} = 90^\circ - h$ ).

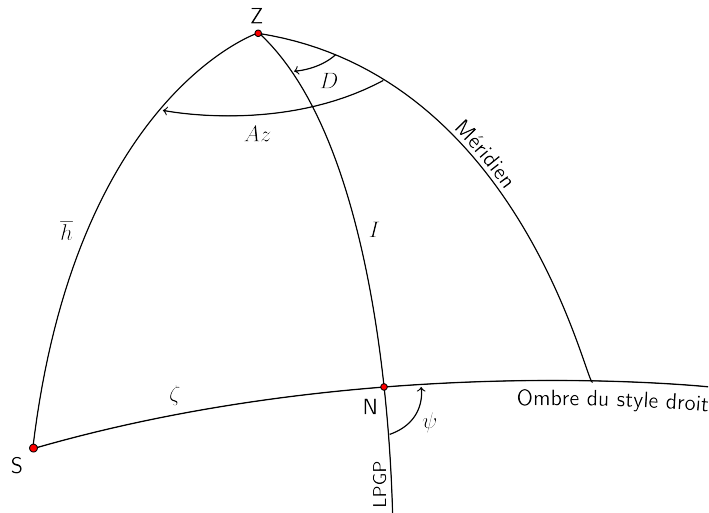


Figure 4. Définition des angles psi et zêta dans le triangle sphérique de position ZSN.

#### d) Exemples numériques

Considérons le plan incliné déclinant à la latitude  $\phi = 43^\circ 43' N$ . de l'exemple 1 précédent (cf. fig. 5). Les fils ont les mêmes caractéristiques. Quelles sont les coordonnées  $(x_p; y_p)$  du point d'intersection des ombres produit par les deux fils au solstice d'hiver à 15 h de temps vrai ?

*Solution* : (les décimales sont volontairement augmentées à des fins de vérification)

On calcule d'abord les angles  $\beta_k$  et  $f_k$  positionnant chaque style au-dessus du plan :

$$\begin{aligned} \beta_1 &= 16^\circ,71147 & \beta_2 &= 0^\circ \\ f_1 &= 25^\circ,84992 & f_2 &= 26^\circ,56505. \end{aligned}$$

Puis, on a successivement :

$$\begin{aligned} \delta &= -23^\circ 26' & AH &= 45^\circ \\ h &= 11^\circ,19136 & Az &= 41^\circ,40392 \\ \bar{\zeta} &= 73^\circ,80490 & \psi &= 160^\circ,65598 & (\text{on vérifie bien que } 0^\circ < \bar{\zeta} < 90^\circ) \\ m_1 &= -4,52612 & m_2 &= 23,63786 \\ x_p &= -41,60963 & y_p &= 188,33028 \end{aligned}$$

Au solstice d'été à 17 h de temps vrai, on aura :

$$\begin{aligned} \delta &= 23^\circ 26' & AH &= 75^\circ \\ h &= 26^\circ,51756 & Az &= 97^\circ,92135 \\ \bar{\zeta} &= 35^\circ,19568 & \psi &= 75^\circ,03762 & (\text{on vérifie bien que } 0^\circ < \bar{\zeta} < 90^\circ) \\ m_1 &= 2,07511 & m_2 &= 1,19288 \\ x_p &= 56,27082 & y_p &= 116,76815 \end{aligned}$$

### 3. Nature des lignes horaires au cas par cas – Exemples numériques.

On propose un certain nombre d'exemples numériques pour illustrer les propositions énoncées sur les lignes horaires. On a choisi la latitude de Nice :  $\phi = 43^\circ 43' N.$ , sans considération de longitude ( $\lambda=0$ ) ou de fuseau horaire. Les plans inclinés et déclinants sont ceux d'un dodécaèdre posé sur une face et orienté de telle façon qu'une des faces inclinées soit plein nord avec une arête placée dans le plan méridien. Les paramètres de chaque face sont inscrites sur les figures. Les résultats des calculs sur des lignes horaires choisies comme on veut sont regroupés dans les tableaux ci-dessous. Pour chaque ligne horaire, les points sont pris dans l'ordre des déclinaisons croissantes. On rappelle que le critère n°1 est une application du théorème de Pascal sur les sections coniques. Sa mise en œuvre a déjà été décrite (D. Collin, *op. cit.*, p. 30-34). Le critère n°2, qui a le même but que le critère n°1, est issu quand à lui de la géométrie projective et peut être considéré comme un peu plus sophistiqué, et plus simple à mettre en œuvre<sup>12</sup>. Enfin, la dernière colonne de chaque tableau donne le genre de la ligne horaire. Tous ces résultats sont extraits des fichiers du tableur *Excel* prévus à cet effet<sup>13</sup> ; le fichier *Povray* fourni par M. Baillet donne les mêmes résultats pour chacun des cadrans (et on rappelle qu'il n'y a aucune formule de calcul de coordonnées dans le programme 3D). Les propositions [1] et [2] sont ainsi largement *vérifiées*.

<sup>12</sup> D'après une suggestion de M. Mercier, on a plutôt considéré la différence relative des produits des déterminants, à savoir :  $diff = \frac{[a, d, e][b, c, e][a, b, f][c, d, f] - [a, b, e][c, d, e][a, d, f][b, c, f]}{[a, d, e][b, c, e][a, b, f][c, d, f]}$ . Elle doit

tendre vers zéro lorsque la ligne horaire étudiée est une conique. Voir à ce sujet la feuille nommée « *Théorème de conicité* », du classeur excel : *TheoremeConique\_CI29\_v2*. Cet ajout constitue la révision n°2 du fichier qui se trouve en annexe à *Cadran-Info* (version CD-Rom).

<sup>13</sup> Le fichier Excel « *PID\_bifilaire qcq\_2013.xls* » se trouve également en annexe à *Cadran-Info*.

**Cadran 1 (Fig. 5).**

*Ligne de 11 h :*

$n^\circ$	Coordonnées des points <sup>14</sup>		Critère 1	Critère 2	Genre
	$x_i$	$y_i$			
M <sub>1</sub>	-143,407114897	136,884111924	$\mu_1 = 1,03172321$ $\mu_2 = 1,03172321$ $\mu_1 = \mu_2$	$diff \approx 2 \times 10^{-13}$	Hyperbole
M <sub>2</sub>	-142,952545388	134,261774544			
M <sub>3</sub>	-142,499402066	131,616084503			
M <sub>4</sub>	-142,047750196	128,944470692			
M <sub>5</sub>	-141,597715534	126,244265767			
M <sub>6</sub>	-141,149495432	123,512694512			

*Ligne de 12 h :*

$n^\circ$	Coordonnées des points		Critère 1	Critère 2	Genre
	$x_i$	$y_i$			
M <sub>1</sub>	-100,39986336647	145,11482861202	$\mu_1 = 1,06074344$ $\mu_2 = 1,06010030$ $\mu_1 \approx \mu_2$	$diff = 0$	Hyperbole
M <sub>2</sub>	-99,72828613794	143,04792644710			
M <sub>3</sub>	-99,05248840599	140,96803490841			
M <sub>4</sub>	-98,37185929459	138,87327391279			
M <sub>5</sub>	-97,68577101292	136,76171131888			
M <sub>6</sub>	-96,99357644302	134,63135550233			

*Ligne de 17 h :*

$n^\circ$	Coordonnées des points		Critère 1	Critère 2	Genre
	$x_i$	$y_i$			
M <sub>1</sub>	13,9937163851	192,8238991411	$\mu_1 = 1,20478109$ $\mu_2 = 1,20478109$ $\mu_1 = \mu_2$	$diff \approx 1,3 \times 10^{-10}$	Hyperbole
M <sub>2</sub>	21,7542830889	180,1900682803			
M <sub>3</sub>	29,6947588311	166,8765157039			
M <sub>4</sub>	38,0032477999	152,3782447636			
M <sub>5</sub>	46,8457907804	136,0124676321			
M <sub>6</sub>	56,2708185517	116,7681528087			

**Cadran 2 (Fig. 6)**

*Ligne de 12 h :*

$n^\circ$	Coordonnées des points		Critère 1	Critère 2	Genre
	$x_i$	$y_i$			
M <sub>1</sub>	-175,299566366122	-266,295809967316		$diff \approx 3,8 \times 10^{-12}$	Hyperbole
M <sub>2</sub>	-125,744434308990	-235,387763361944			

<sup>14</sup> Le nombre de décimales est volontairement exagéré...

M <sub>3</sub>	-103,480042620125	-222,337168051732			
M <sub>4</sub>	-84,746577671620	-211,934164206405			
M <sub>5</sub>	-79,104031636651	-208,926945962438			
M <sub>6</sub>	-73,712855062984	-206,115778394344			

*Ligne de 13 h :*

n°	Coordonnées des points		Critère 1	Critère 2	Genre
	x <sub>i</sub>	y <sub>i</sub>			
M <sub>1</sub>	-107,6566364397	-116,7639505605	$\mu_1 = 0,81517326$ $\mu_2 = 0,81517326$ $\mu_1 = \mu_2$	$diff \approx -2,9 \times 10^{-10}$	Hyperbole
M <sub>2</sub>	-88,1857343227	-116,2243483341			
M <sub>3</sub>	-77,9555743244	-116,2343265163			
M <sub>4</sub>	-65,4950169537	-116,5629263479			
M <sub>5</sub>	-59,6482666265	-116,8487215322			
M <sub>6</sub>	-52,6569237981	-117,3097844296			

*Ligne de 16 h :*

n°	Coordonnées des points		Critère 1	Critère 2	Genre
	x <sub>i</sub>	y <sub>i</sub>			
M <sub>1</sub>	-47,0159227960	-12,5694917878		$diff \approx 3,7 \times 10^{-10}$	Hyperbole
M <sub>2</sub>	-42,2669019784	-17,5601221189			
M <sub>3</sub>	-38,2141159749	-21,6362757682			
M <sub>4</sub>	-33,9139049974	-25,8286128765			
M <sub>5</sub>	-29,3278091906	-30,1842311196			
M <sub>6</sub>	-25,6679126963	-33,5917884097			

**Cadran 3 (Fig. 7)**

*Ligne de 10 h :*

n°	Coordonnées des points		Critère 1	Critère 2	Genre
	x <sub>i</sub>	y <sub>i</sub>			
M <sub>1</sub>	213,3859992765	-442,3298689855	$\mu_1 = 0,79980733$ $\mu_2 = 0,79980733$ $\mu_1 = \mu_2$	$diff \approx -3,9 \times 10^{-10}$	Hyperbole
M <sub>2</sub>	140,5525254469	-310,5913384340			
M <sub>3</sub>	102,0641602641	-241,1025611327			
M <sub>4</sub>	78,2155398519	-198,1447698519			
M <sub>5</sub>	61,9564592667	-168,9387210160			
M <sub>6</sub>	50,1380239551	-147,7769106049			

*Ligne de 12 h :*

n°	Coordonnées des points		Critère 1	Critère 2	Genre
	x <sub>i</sub>	y <sub>i</sub>			

M <sub>1</sub>	-15,137900796265	-1097,738461738920	$\mu_1 = 0,76958236$ $\mu_2 = 0,76958236$ $\mu_1 = \mu_2$	$diff \approx 5,1 \times 10^{-12}$	Hyperbole
M <sub>2</sub>	-15,297945768555	-513,447324417666			
M <sub>3</sub>	-15,455439449447	-339,352233720936			
M <sub>4</sub>	-15,610536095670	-255,685719589571			
M <sub>5</sub>	-15,763382424431	-206,493913403707			
M <sub>6</sub>	-15,978814952992	-163,246535048922			

Ligne de 14 h :

n°	Coordonnées des points		Critère 1	Critère 2	Genre
	x <sub>i</sub>	y <sub>i</sub>			
M <sub>1</sub>	-124,9316677359	-216,7847576439	$\mu_1 = 0,79980733$ $\mu_2 = 0,79980733$ $\mu_1 = \mu_2$	$diff \approx 1,2 \times 10^{-9}$	Hyperbole
M <sub>2</sub>	-91,4957131364	-155,8925127119			
M <sub>3</sub>	-73,9296148668	-123,7733777121			
M <sub>4</sub>	-63,1255037898	-103,9174074241			
M <sub>5</sub>	-55,8249613590	-90,4177739322			
M <sub>6</sub>	-50,5728138464	-80,6363520706			

Cadran 4 (Fig. 8)

Ligne de 7 h :

n°	Coordonnées des points		Critère 1	Critère 2	Genre
	x <sub>i</sub>	y <sub>i</sub>			
M <sub>1</sub>	12,9997552153	-11,0556709924	$\mu_1 = 1,06776821$ $\mu_2 = 1,06776821$ $\mu_1 = \mu_2$	$diff \approx 1,5 \times 10^{-10}$	Hyperbole
M <sub>2</sub>	12,0041452381	-15,4936282983			
M <sub>3</sub>	9,8743760493	-22,4536216437			
M <sub>4</sub>	7,8417728754	-28,0844883379			
M <sub>5</sub>	4,7651323965	-35,8233040823			
M <sub>6</sub>	-1,6040423092	-50,4593568891			

Ligne de 11 h :

n°	Coordonnées des points		Critère 1	Critère 2	Genre
	x <sub>i</sub>	y <sub>i</sub>			
M <sub>1</sub>	299,8215428283	-156,9437130811	$\mu_1 = 0,78617794$ $\mu_2 = 0,78617794$ $\mu_1 = \mu_2$	$diff \approx -2,6 \times 10^{-12}$	Hyperbole
M <sub>2</sub>	146,8113512900	-137,0240799718			
M <sub>3</sub>	104,4604603933	-136,7499472645			
M <sub>4</sub>	80,2237457854	-139,3257073209			
M <sub>5</sub>	40,4502330908	-151,4338154752			
M <sub>6</sub>	33,2317341492	-155,1279352438			

*Ligne de 12 h :*

$n^\circ$	Coordonnées des points		Critère 1	Critère 2	Genre
	$x_i$	$y_i$			
M <sub>1</sub>	180,575012569614	-308,469425557491	$\mu_1 = 1,06344297$ $\mu_2 = 1,06344297$ $\mu_1 = \mu_2$	$diff \approx 1,2 \times 10^{-13}$	Hyperbole
M <sub>2</sub>	144,323932821130	-288,063915005486			
M <sub>3</sub>	125,146068066643	-278,227985560504			
M <sub>4</sub>	101,361188591465	-267,356758544338			
M <sub>5</sub>	70,3039932574190	-256,373983277163			
M <sub>6</sub>	54,9273647735230	-252,851710928197			

**Cadran 5 (Fig. 9)**

*Ligne de 6 h :*

$n^\circ$	Coordonnées des points		Critère 1	Critère 2	Genre
	$x_i$	$y_i$			
M <sub>1</sub>	-137,1641286478	-20	$\mu_1 = 0,74780370$ $\mu_2 = 0,74780370$ $\mu_1 = \mu_2$	$diff \approx 7,4 \times 10^{-12}$	Hyperbole
M <sub>2</sub>	-145,7029892732	-38,1588869001			
M <sub>3</sub>	-145,9482341635	-49,9331052831			
M <sub>4</sub>	-141,2819914345	-53,8382615345			
M <sub>5</sub>	-134,7068815132	-54,7995187259			
M <sub>6</sub>	-129,8352151769	-54,4839486392			

*Ligne de 9 h :*

$n^\circ$	Coordonnées des points		Critère 1	Critère 2	Genre
	$x_i$	$y_i$			
M <sub>1</sub>	-20,9274999300	-43,6075837397	$\mu_1 = 0,89299027$ $\mu_2 = 0,89299027$ $\mu_1 = \mu_2$	$diff \approx 1,6 \times 10^{-9}$	Hyperbole
M <sub>2</sub>	-28,3074514544	-57,3548963950			
M <sub>3</sub>	-35,6310395670	-70,9474621333			
M <sub>4</sub>	-50,1039250377	-97,7386122402			
M <sub>5</sub>	-60,4606820834	-116,8803219248			
M <sub>6</sub>	-67,9726704613	-130,7553449165			

*Ligne de 12 h :*

$n^\circ$	Coordonnées des points		Critère 1	Critère 2	Genre
	$x_i$	$y_i$			
M <sub>1</sub>	46,357632900643	-68,318340697959	$\mu_1 = 0,86129276$ $\mu_2 = 0,86129276$ $\mu_1 = \mu_2$	$diff \approx 4,6 \times 10^{-13}$	Hyperbole
M <sub>2</sub>	42,844218682741	-81,799973184108			
M <sub>3</sub>	33,909890577420	-113,948759435239			
M <sub>4</sub>	30,295135964501	-126,443481088518			

M <sub>5</sub>	20,868513290009	-158,232475909105			
M <sub>6</sub>	16,668031002907	-172,136734257948			

*Ligne de 14 h :*

n°	Coordonnées des points		Critère 1	Critère 2	Genre
	x <sub>i</sub>	y <sub>i</sub>			
M <sub>1</sub>	141,0073501479	-80,5013378966	$\mu_1 = 0,7843088$ $\mu_2 = 0,7843088$ $\mu_1 = \mu_2$	$diff \approx -4,2 \times 10^{-11}$	Hyperbole
M <sub>2</sub>	141,8410180309	-119,8883430243			
M <sub>3</sub>	141,6288998243	-164,1477562218			
M <sub>4</sub>	140,0701696918	-231,5333686868			
M <sub>5</sub>	138,8539615031	-268,1347144531			
M <sub>6</sub>	138,2343633257	-284,9803449967			

### **Conclusion.**

Pour déterminer la nature des lignes horaires dans un cadran solaire bifilaire inclinée déclinant, il a été nécessaire d'élaborer une théorie de ce cadran. Le formulaire *hac doc* obtenu est relativement simple en l'absence de toute question de réelle existence des intersections des ombres des gnomons filaires. D'ailleurs cette question de l'existence du point d'ombre utile dans un bifilaire pourrait tout à fait faire l'objet d'une étude spécifique. En excluant les cas particuliers de fils horizontaux (que le formulaire ne peut traiter), les critères sur les coniques appliqués aux exemples, pris ici sur les faces d'un dodécaèdre, permettent parfaitement de bien *démontrer, pour ceux-ci*, que les lignes horaires sont des sections coniques, de genre hyperbole. Par extension (en prenant donc des risques en généralisant), on admet que cela reste vrai pour tout cadran plan, en excluant des configurations très précises des fils et du plan. Dès que les styles ont un point commun, le bifilaire redevient un cadran classique avec un éventail horaire rectiligne et convergent. La désolidarisation du style polaire ou droit, en deux styles rectilignes en position quelconque au-dessus du cadran, engendre des lignes horaires qui sont des branches d'hyperboles. Cependant, la ligne de midi fait parfois exception (comme cela avait déjà bien été remarqué sur les cadrans horizontaux) tout comme les lignes horaires du cadran bifilaire de M. Rouxel (*op. cit.*), lequel utilise une configuration particulière des fils et du plan (dont on sait qu'elle est unique) – les lignes horaires sont parallèles<sup>15</sup>. On ne peut donc pas dire en toute rigueur que notre conjecture – propositions [1] et [2] et son corollaire – sont entièrement démontrés<sup>16</sup> même si l'on a déterminé *tous* les cas où elle n'est pas vraie.

Le désir d'une autre approche est toujours présent à l'esprit et il ne fait plus de doute qu'elle permettrait de comprendre comment et pourquoi les lignes horaires présentent une telle particularité pour des configurations spatiales très variées des fils au-dessus de n'importe quelle surface plane inclinée déclinante.

<sup>15</sup> La recherche de lignes horaires parallèles dans les cadrans bifilaires plans est un autre type de préoccupation dans la théorie des bifilaires. Pour en savoir davantage sur les dernières avancées, voir B. Rouxel, « *Some new bifilar sundials* », The Compendium, NASS, décembre 2013, Vol. 20, n°4, pp. 20-24.

<sup>16</sup> Elle est démontrée pour les plans horizontaux seulement.

**Planches**

*Lignes horaires dans les cadrans solaires bifilaires inclinés déclinants*

Figure 5. **Cadran 1.**

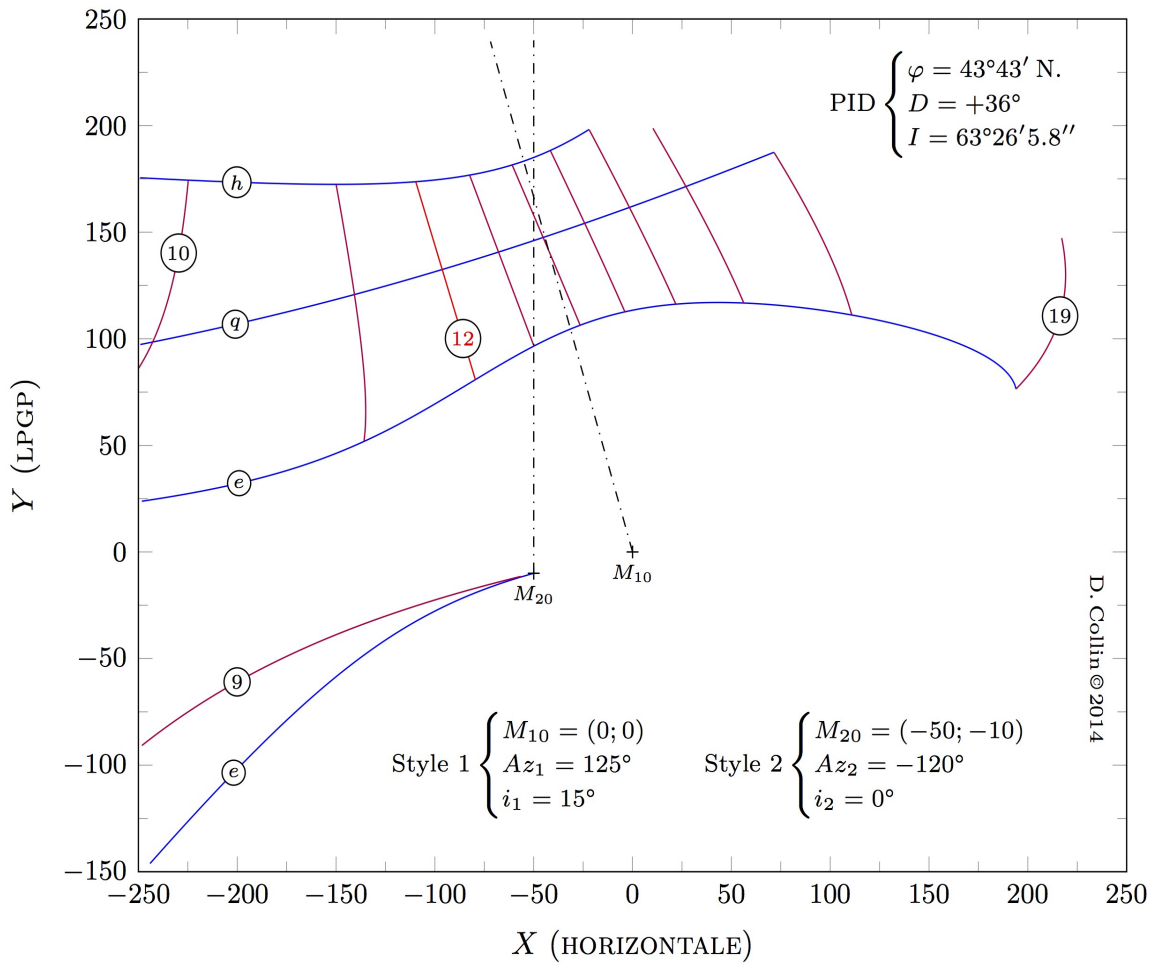


Figure 6. *Cadran 2.*

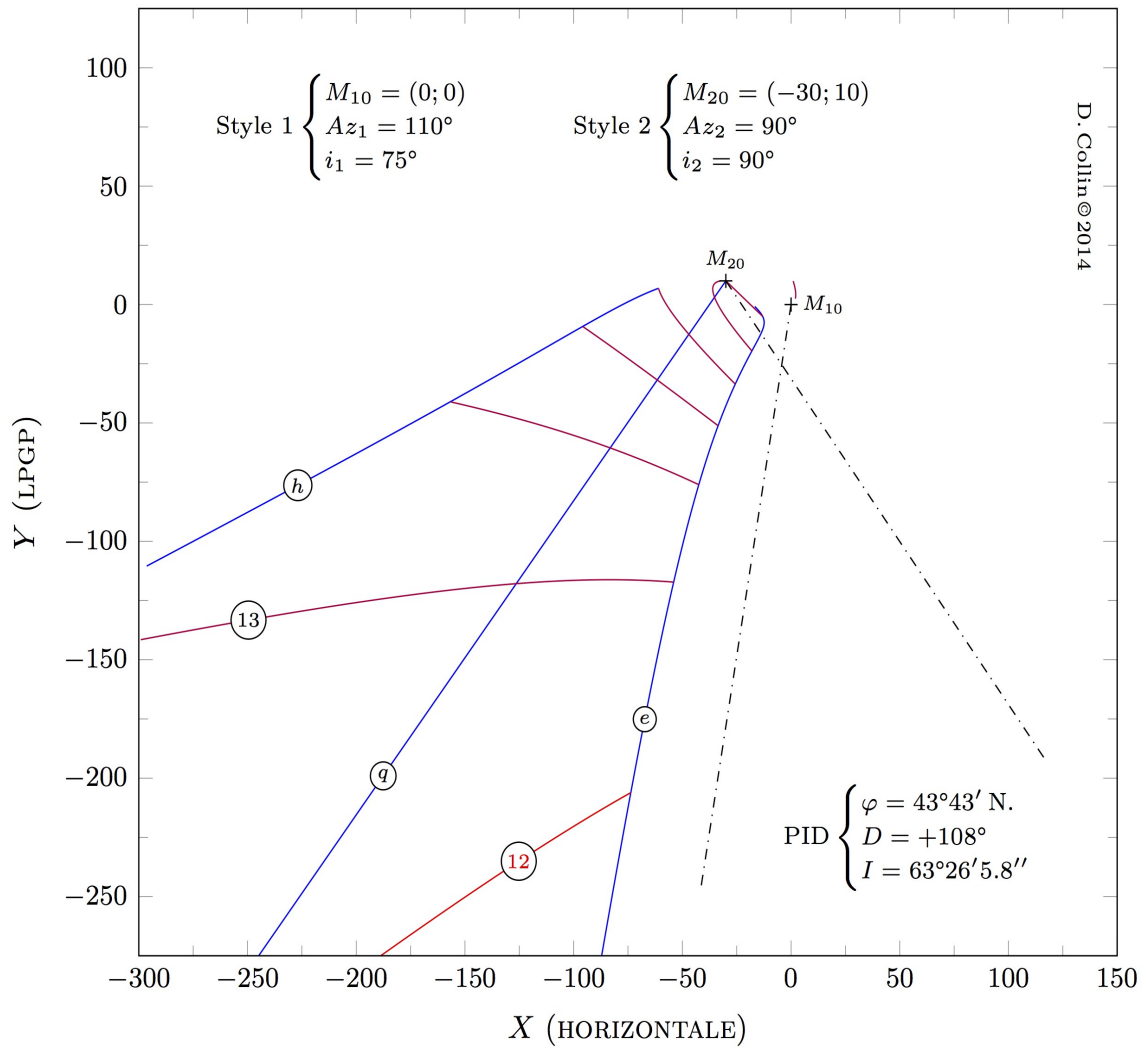


Figure 7. *Cadran 3.*

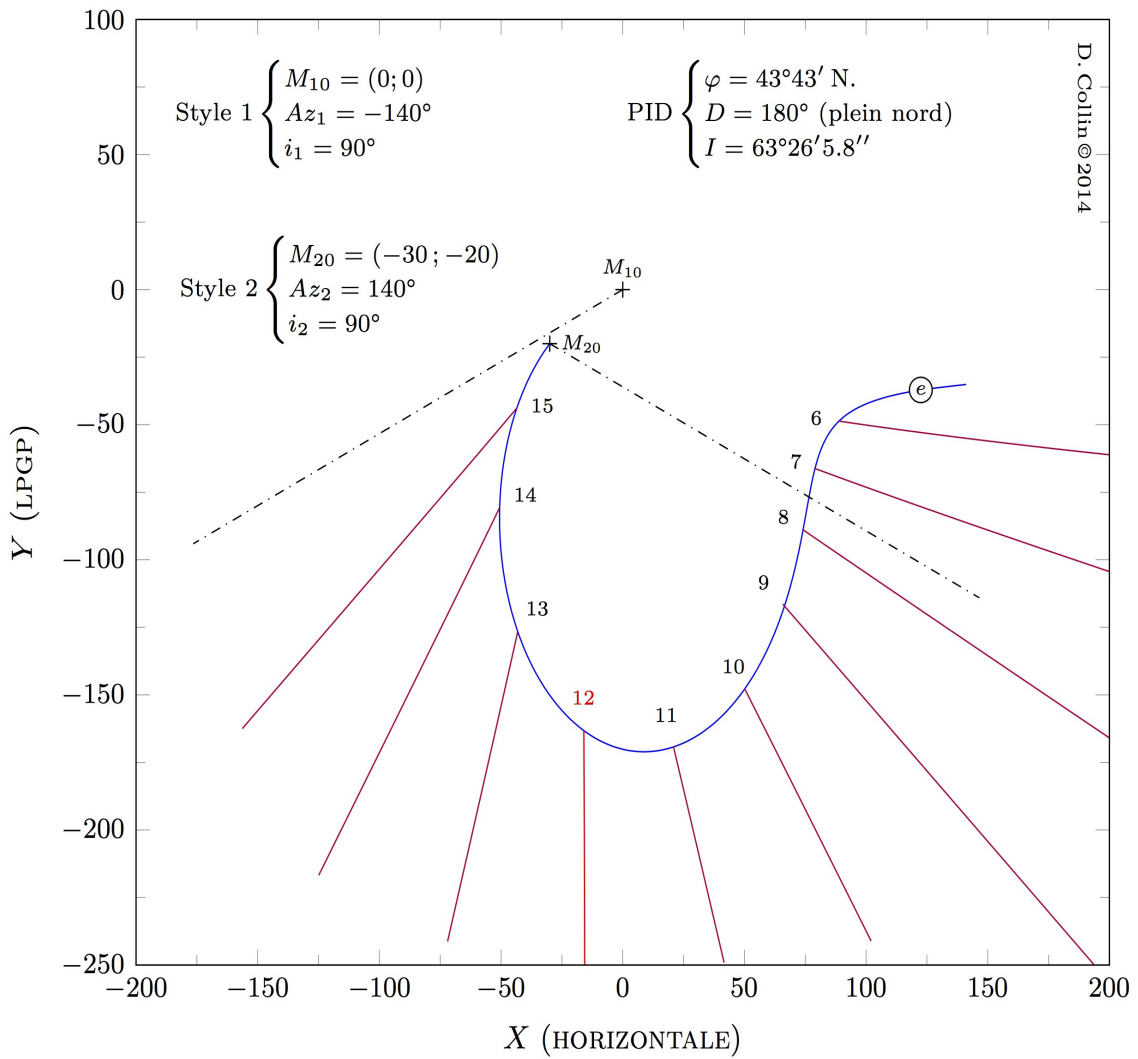


Figure 8. *Cadran 4.*

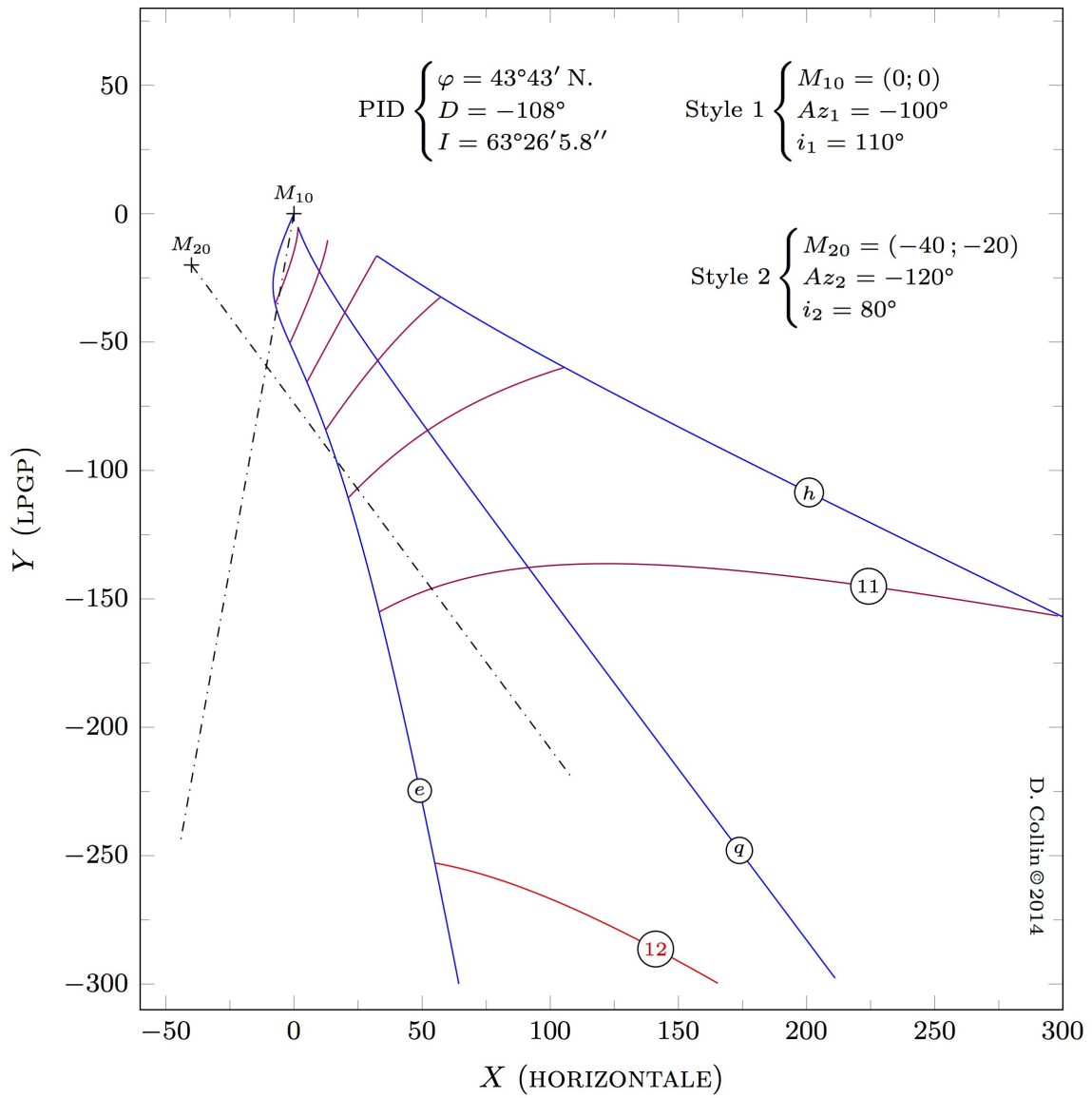


Figure 9. *Cadran 5.*

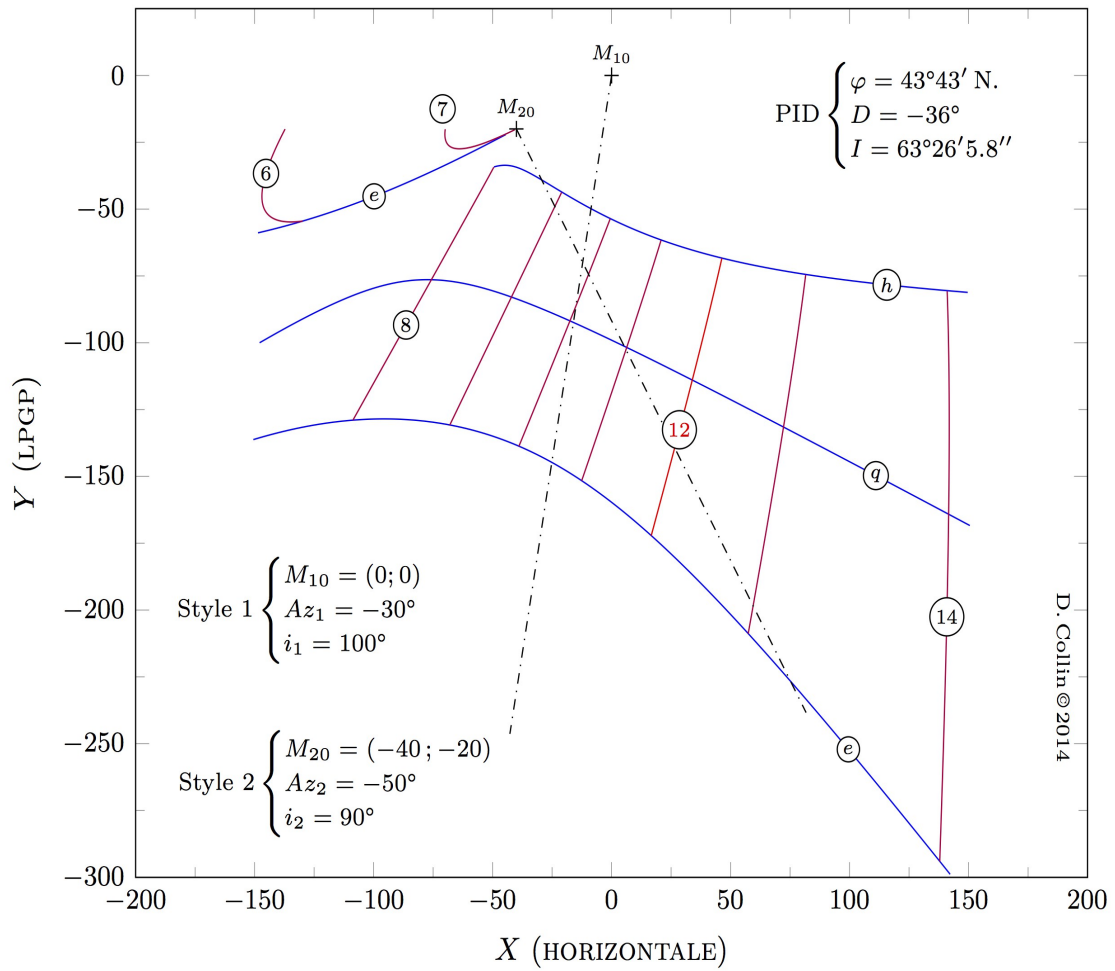
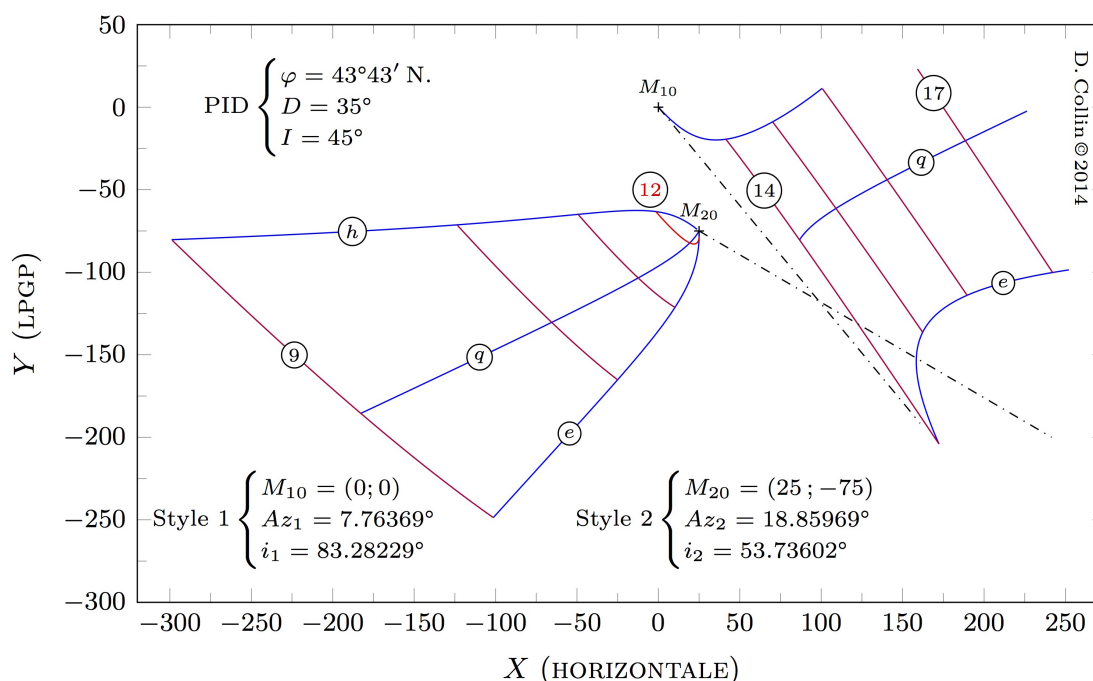


Tableau des caractéristiques des cadrans inclinés déclinants n°1 à 5

N°	Plan du cadran		Fil 1		Fil 2			
	Déclinaison (D)	Distance zénithale (I)	Az <sub>1</sub>	i <sub>1</sub>	Origine (x <sub>10</sub> ; y <sub>10</sub> )	Az <sub>2</sub>	i <sub>2</sub>	Origine (x <sub>20</sub> ; y <sub>20</sub> )
Cadran 1	+36°	63° 26' 5.8"	+125°	15°	(0 ; 0)	-120°	0°	(-50 ; -10)
Cadran 2	+108°	63° 26' 5.8"	+110°	75°	(0 ; 0)	+90°	90°	(-30 ; 10)
Cadran 3	180°	63° 26' 5.8"	-140°	90°	(0 ; 0)	+140°	90°	(-30 ; -20)
Cadran 4	-108	63° 26' 5.8"	-100°	110°	(0 ; 0)	-120°	80°	(-40 ; -20)
Cadran 5	-36°	63° 26' 5.8"	-30°	100°	(0 ; 0)	-50°	90°	(-40 ; -20)

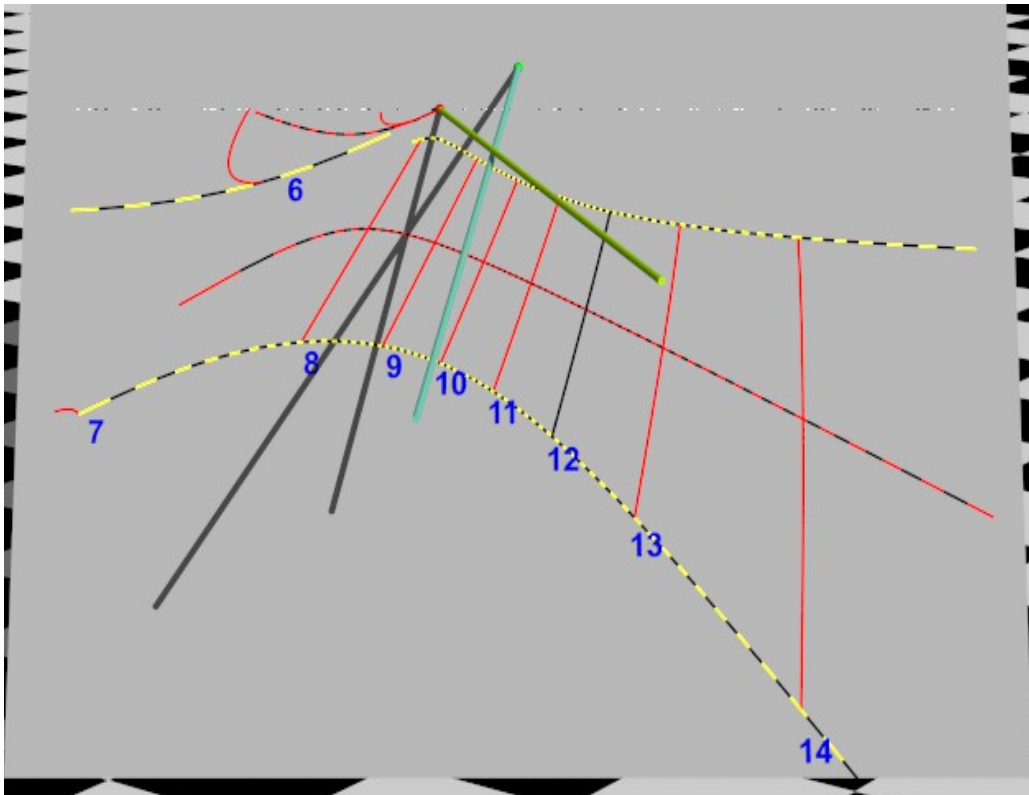
(il s'agit des caractéristiques gnomoniques standards des fils. Pour un tracé sous *Hugo.0.4c*, voir §2-a.2 pour la conversion des paramètres avant leur introduction dans le logiciel).

Figure 10. Figure test pour le contrôle des caractéristiques des gnomons. (cf. Paragraphe 2.a-2, exemple 2)



**Remerciements.**

Nous remercions tout particulièrement M. Baillet pour avoir dessiné sous *Povray* des cadrans solaires bifilaires sur des plans inclinés déclinants permettant, à partir de représentations 3D (c'est-à-dire par intersection d'objets solides), de valider d'une autre façon le formulaire très général de tels cadrans. Soulignons qu'aucune formule sur les coordonnées du point d'intersection des ombres des fils n'est programmée.



*Cadran solaire bifilaire incliné déclinant à deux styles obliques  
Image fourni par le logiciel Povray  
(cadran n°5 – 8 h 30 min (temps vrai) aux équinoxes à Nice. Le fil de couleur cyan est le fil n°1)*

⇒  **Dans la version numérique, en annexe, le dossier "Bifilaire-2013 Collin" :**

- ° le répertoire « Annexe\_Article D. Collin\_Mai2014 » contenant toutes les figures de l'article, avec les fichiers sources et leur « data » pour une compilation sous LaTeX,
- ° le texte original sous PdF
- ° les calculs sous Excel :  
("PID\_bifilaire\_fils qcq\_2013.xls" et "Theoreme Conique\_CI29\_v2.xlsx").

